



Routing Dust Storms using Suspended Particulates Concentration and Meteorological Models in Hamadan Province

Kamran Shayesteh^{a*}, Shiva Gharibi^b, Mohammad Parsimehr^c

^a Assistant Professor, Department of Environmental Sciences, Faculty of Natural Resources and Environment, Malayer University, Malayer, Iran

^b PhD Candidate in Environmental Science, Malayer University, Malayer, Iran

^c PhD Candidate in Environmental Science, Malayer University, Malayer, Iran

Received: 27 June 2021

Revised: 19 October 2021

Accepted: 21 October 2021

Abstract

Dust is one of the natural hazards that occur mainly in arid and semi-arid areas of the world such as Iran. In recent years, dust storms have been one of the most important air pollution crises in Hamadan province. Identifying the dust and sand sources is the first step in controlling this phenomenon. Thus, this study tried to identify dust sources of Hamadan province using Aerosol Optical Depth (AOD) from the MODIS satellite images and numerical modeling to predict airflow from 2008 to the end of 2018. In the next step, using HYSPLIT model, the path of particles' moves and their source were determined at three levels of 500, 1000 and 1500 meters for 48 hours before the storm for external sources and 18 hours for internal sources. The meteorological data of the model was obtained from a 0.5-degree GDAS. Finally, its movement from source to Hamadan urban area was monitored using GIS and Spatial Analysis Tools. The results showed that the origin of the dust phenomena in this city are three sources including internal parts the province (Famenin, Malayer and Razan county), outside the province (such as Kurdestan, Markazi, and Khuzestan province) and out of Iran (Western parts of Iraq, Syria, Jordan and northern Saudi Arabia). So, it is necessary to monitor the spatial patterns of dust sources in the western regions of Iran for different years. The combination of remote sensing data, Hysplit model, and field based data could well show dust transport corridors.

Keywords: Dust, Modis, AOD, Hamadan

* Corresponding autho: Kamran Shayesteh E-mail: k.shayesteh@malayeru.ac.ir Tel: + 989123784864

How to cite this Article: Shayesteh, K., Gharibi, S., & Parsimehr, M. (2022). Routing Dust Storms using Suspended Particulates Concentration and Meteorological Models in Hamadan Province. *Journal of Geography and Environmental Hazards*, 11(1), 185-200.

DOI:10.22067/geoh.2021.71200.1082



Journal of Geography and Environmental Hazards are fully compliant with open access mandates, by publishing its articles under Creative Commons Attribution 4.0 International License (CC BY 4.0).



Creative Commons Attribution 4.0 International License (CC BY 4.0)



Geography and Environmental Hazards

Volume 11, Issue 1 - Number 41, Spring 2022

<https://geoeh.um.ac.ir>

<https://dx.doi.org/10.22067/geoeh.2021.71200.1082>

جغرافیا و مخاطرات محیطی، سال یازدهم، شماره چهل و یکم، بهار ۱۴۰۱، صص ۲۰۰-۱۸۵

مقاله پژوهشی

مسیریابی حرکت گردوغبار بر اساس غلظت ذرات معلق و مدل هواشناسی در استان همدان

کامران شایسته^۱- استادیار گروه محیط‌زیست، دانشکده منابع طبیعی، دانشگاه ملایر، ایران

شیوا غریبی- دانشجوی دکتری، ارزیابی و آمایش سرزمین، گروه محیط‌زیست، دانشکده منابع طبیعی، دانشگاه ملایر

محمد پارسی‌مهر- دانشجوی دکتری، ارزیابی و آمایش سرزمین، گروه محیط‌زیست، دانشکده منابع طبیعی، دانشگاه ملایر

تاریخ دریافت: ۱۴۰۰/۴/۶ تاریخ تصویب: ۱۴۰۰/۷/۲۹

چکیده

گردوغبار یکی از مخاطرات طبیعی است که عمدتاً در مناطق خشک و نیمه‌خشک جهان از جمله ایران رخ می‌دهد. در سال‌های اخیر، طوفان‌های گردوغبار به یکی از مهم‌ترین چالش‌های آلودگی هوای استان همدان تبدیل شده است و شناسایی کانون‌های تولیدکننده این پدیده اولین گام در مدیریت و کنترل آن به شمار می‌رود. ؟ از این‌رو در این مقاله به شناسایی کانون‌های تولید گردوغبار در استان همدان با استفاده از شاخص عمق اپتیکی اخذشده از تصاویر سنجنده مادیس و همچنین، مدل‌سازی عددی پیش‌بینی جریان هوا در بازه زمانی سال ۲۰۰۸ تا پایان سال ۲۰۱۸ پرداخته شده است. مسیر باد در ۴۸ ساعت قبل از طوفان برای منشأ خارجی و ۱۲ ساعت برای منشأ داخلی تعیین شد. داده‌های هواشناسی مدل نیز از سامانه یکپارچه‌سازی داده‌های جهانی دریافت شد. درنهایت با استفاده از سیستم اطلاعات مکانی و ابزارهای تحلیل مکانی، نمایش حرکت گردوغبارها از منشأ شکل‌گیری تا داخل محدوده استان همدان ردیابی شد. نتایج نشان داد که منشأ پدیده‌های گردوغبار ورودی به این استان دارای سه منشأ داخل استان (شهرستان‌های فامنین، ملایر و رزن)، خارج از استان (استان‌های کردستان، خوزستان و مرکزی) و خارج از کشور (غرب عراق، سوریه، اردن و شمال عربستان) است که بیانگر لزوم مطالعه پایش مکانی

Email: k.shayesteh@malayeru.ac.ir

۱ نویسنده مسئول: ۹۱۲۳۷۸۴۸۶۴

نحوه ارجاع به این مقاله:

شایسته، کامران؛ غریبی، شیوا؛ پارسی مهر، محمد. (۱۴۰۱). مسیریابی حرکت گردوغبار بر اساس غلظت ذرات معلق و مدل هواشناسی در استان همدان. *جغرافیا و مخاطرات محیطی*. ۱۰(۴). صص ۲۰۰-۱۸۵.
<https://dx.doi.org/10.22067/geoeh.2021.71200.1082>

گردوغبارهای این منطقه است. درنهایت، ترکیب روش‌های سنجش از دوری و مدل‌های اسپلیت به همراه اطلاعات زمینی گردوغبار می‌تواند دالان‌های تحت تأثیر گردوغبار را به خوبی نشان دهد.

کلیدواژه‌ها: گردوغبار، مادبس، عمق اپتیکی آثروسل، همدان.

۱- مقدمه

تحقیقات نشان داده است که قدمت پدیده گردوغبار به بیش از ۷۰ میلیون سال می‌رسد (خان^۱ و همکاران، ۲۰۰۴). سازمان جهانی هواشناسی نیز پدیده گردوغبار را کاهش سطح دید به زیر ۱۰۰۰ متر در اثر غبار برخاسته از بادهای شدید تعریف می‌کند (تقوی^۲ و همکاران، ۲۰۱۷) که دارای تأثیرات منفی بسیار بزرگ اجتماعی-اقتصادی، بهداشتی و محیط‌زیستی است (زانگ^۳ و همکاران، ۲۰۱۵)؛ به طوری که گردوغبار منجر به ایجاد اختلال در توازن تشعشعات، دمای هوا، مشخصات اپتیکی، طول عمر ابرها (ونگ و دسلر^۴، ۲۰۰۵)، فرآیند بارش، رئوشیمی خاک نواحی تحت تأثیر (منذر^۵ و همکاران، ۲۰۰۷)، چرخه‌های بیوشیمیایی محیط‌های آبی، فرآیندهای هیدرولوژیکی و ویژگی‌های زیبایی‌شناسنخی می‌شوند. ذرات گردوغبار علاوه بر تأثیرگذاری بر شرایط جوی و تولیدات کشاورزی، بر سلامت انسان و اکوسیستم‌ها نیز اثرگذار هستند (هابرگ و نیکول^۶، ۲۰۱۲) به طوری که در بعضی از موارد ذرات گردوغبار موجب انتقال باکتری‌ها، ویروس‌ها و قارچ‌های بیماری‌زا نیز می‌گردد (جانسون^۷ و همکاران، ۲۰۱۱). همچنین با تأثیر بر محصولات کشاورزی، خاک، علف‌های هرز، آفات و بیماری‌ها به طور کلی کشاورزی و اメント غذایی را تحت تأثیر قرار داده است که خود منجر به مهاجرت به شهرها و ایجاد مشکلات بعدی شده است (ممتأز و همکاران، ۲۰۱۹) به طور کلی، اکوسیستم‌های خشکی و سلامت جوامع تحت تأثیر گردوغبار قرار دارند (فاربردر^۸ و همکاران، ۲۰۱۷؛ حیدریان^۹ و همکاران، ۲۰۱۸). پدیده گردوغبار بر اساس شدت و اثرگذاری بر سطح دید افقی به سه دسته طوفان گردوغبار^{۱۰} (بادهای شدید و کاهش دید افقی از صفر به 10^3 متر)، گردوغبار وزشی^{۱۱} (بادهای ملایم‌تر و کاهش دید افقی تا $10^3 - 10^4$) و گردوغبار معلق^{۱۲} (کمترین شدت و کاهش دید افقی به کمتر از 10^4 متر) تقسیم‌بندی می‌شود (کنه^{۱۳} و همکاران، ۱۹۹۸). با وجود اینکه گردوغبار یک پدیده طبیعی و شایع در مناطق خشک و

۱ Xuan

۲ Taghavi

۳ Zhang

۴ Wong and Dessler

۵ Menéndez

۶ Hahnenberger and Nicoll

۷ Johanston

۸ Farebrother

۹ Heidarian

۱۰ Dust storm

۱۱ Blowing dust

۱۲ Floating dust

۱۳ Kenneth

نیمه خشک است (ژانگ و همکاران، ۲۰۱۵) اما در برخاستگاه نشان دهنده یک فاجعه طبیعی است (تقوی و همکاران، ۲۰۱۷) و ایجاد کانون های تولید گردوغبار نشان دهنده و خامت و وضعیت قهقهای محیط زیست در آن محدوده است. در سال های اخیر فعالیت های انسانی مانند جنگ، مشکلات اقتصادی، مدیریت ناصح منابع طبیعی، تالاب ها و دریاچه ها همانند تغییرات اقلیمی بر روی پوشش زمین تأثیرات گسترده ای داشته و باعث تشدید خشکسالی ها و کاهش ذخیره آب و رطوبت در برخی از کشورها بخصوص ایران و همسایگان غربی آن مانند سوریه و عراق شده است (نوری^۱ و همکاران، ۲۰۱۹). ایران علاوه بر اینکه در نواحی خشک و نیمه خشک جهان قرار گرفته که خود موجب ایجاد مناطق بیابانی شده است، در مجاورت آن نیز منابع اصلی ریزگردها مانند بیابان های عراق، عربستان و اردن قرار دارند (باغبانان^۲ و همکاران، ۲۰۲۰). در یک دهه گذشته گردوغبار به یک پدیده غالب و شایع تبدیل شده (باغبانان و همکاران، ۲۰۲۰) و استان همدان نیز در ارتباط با این پدیده وضعیت بحرانی داشته است. استان همدان در سال های اخیر کاهش در میانگین سالانه رطوبت، میانگین عمق برف و میانگین بارش سالیانه و افزایش در میانگین تبخیر سالانه و تعداد روزهای همراه با غبار را تجربه کرده است (ممتأز^۳ و همکاران، ۲۰۱۹). با این وجود همه آثار و نشانه های این پدیده پیش رونده، پژوهش های کافی در این زمینه بخصوص در مقیاس محلی انجام نشده است و این تغییرات اقلیمی - محیط زیستی آثار ویرانگر خود را روی مردم این نواحی گذاشته است؛ از این رو شناسایی برخاستگاه گردوغبار برای مقابله با این پدیده حائز اهمیت است و منجر به اتخاذ رویکردهای مدیریتی می شود (اسماعیلی^۴ و همکاران، ۲۰۰۶).

مطالعات مشابهی نیز در خصوص بررسی وضعیت و منشأ یابی طوفان های گردوغباری در سایر استان های ایران صورت گرفته است. از جمله، فاریابی و همکاران (۱۳۹۸) با استفاده از سنجه غبار آلودگی و داده های طیفی سنجنده مادیس به شناسایی گردوغبار در نواحی غرب و جنوب غرب ایران پرداختند. ارجمند و همکاران (۱۳۹۷) نیز در منطقه جازموریان طوفان های گردوغباری را به لحاظ مکانی و زمانی پایش و بررسی کردند. دانیالی و همکاران (۱۳۹۷) نیز جهت تحلیل مکانی گردوغبار استان خوزستان از تصاویر مودیس، شاخص عمق اپتیکی آئروسل و مدل های اسپلیت استفاده کردند. یارمرادی و همکاران (۱۳۹۸) مسیرهای ورود طوفان های گردوغباری در نیمه شرقی ایران را با استفاده از مدل های اسپلیت ردیابی کردند. جمالی و همکاران (۱۳۹۹) تغییر پذیری مکانی دید افقی مناطق در گیر با طوفان های گردوغبار در استان یزد را با سنجنده مودیس و الگوریتم دیپ بلو ارزیابی کردند. رایگانی و خیراندیش (۱۳۹۶) با بهره گیری از سری زمانی داده های ماهواره ای به اعتبار سنجی کانون های گردوغبار در استان البرز پرداختند. به طور کلی، اجرا و به کار گیری روش های کترل نیازمند شناسایی دقیق منابع تولید ریزگرد است؛ زیرا

1 Nouri

2 Baghbanan

3 Momtaz

4 Esmaili

خصوصیات فیزیکی-شیمیایی گردوغبار در منبع تولید وابسته به خصوصیات سطح زمین است (ونگ^۱ و همکاران، ۲۰۱۵) و این رویکرد منجر به درک مکانیسم‌های تولید و انتشار گردوغبار و انتخاب بهترین استراتژی مدیریتی منطقه می‌شود (کا^۲ و همکاران، ۲۰۱۵). بر اساس مطالعات صورت گرفته در سال‌های اخیر، روش‌های مختلفی جهت شناسایی کانون‌های گردوغبار از جمله تحلیل داده‌های هواشناسی (زو^۳ همکاران، ۲۰۲۰)، فن‌آوری RS-GIS (بلورانی^۴ و همکاران، ۲۰۲۰)، اطلاعات زمین‌شناسی (موه^۵: ۲۰۱۳) و مدل‌سازی (اشرفی^۶ و همکاران، ۲۰۱۴) استفاده شده است. با این حال در پژوهش‌های گذشته این نکته وجود دارد که در بیشتر آن‌ها منبع گردوغبار در سطح منطقه‌ای و جهانی بررسی و شناسایی شده است، در صورتی که این رویکرد نمی‌تواند پاسخگوی نیازهای مدیریتی در سطح محلی باشد (حیدریان و همکاران، ۲۰۱۸). در این راستا، با توجه به نیاز مبرم بخش‌های مدیریتی به درک شرایط و وضعیت بحرانی محدوده مورد مطالعه، برای اولین بار با یک رویکرد جامع در سناریوهای مختلف، شناسایی کانون‌ها و مسیرهای تولید گردوغبار در داخل استان همدان مورد بررسی قرار گرفت.

سنجدنده مادیس با دارا بودن ۱۶ باند حرارتی برای پایش گردوغبار در سراسر جهان کاربردی و قابل استفاده است. هر تصویر رده آئروسل سنجدنده مادیس حاوی طیفی از شاخص‌های عمق اپتیکی^۷ در طول موج‌های مختلف بوده که عموماً توسط الگوریتم‌های دیپ بلو^۸، هدف‌های تیره^۹ و یا ترکیب آن‌ها تهیه گردیده است. باندهای ۱-۷ برای مطالعه آئروسل‌ها تعییش‌شده و باندهای ۱، ۳ و ۷ در بازیابی اطلاعات گردوغبار پرکاربردتر هستند. شاخص عمق اپتیکی آئروسل نیز یک پارامتر کمی بدون بعد جهت نشان دادن تراکم و تمرکز ذرات موجود و معیاری از ممانعت ذرات معلق گردوغبار در برابر رسیدن نور خورشید به زمین است (رجبلو و همکاران، ۱۳۹۷). این شاخص در طول یک مسیر عمودی بر روی تصاویر مادیس محاسبه می‌شود و ویژگی‌های فیزیکی و شیمیایی ذرات، اندازه و روش‌نایابی قابل اندازه‌گیری است. مقدار عمق اپتیکی می‌تواند با تراکم تعداد آئروسل‌ها و ویژگی‌های آن ذرات متفاوت باشد (ارجمند و همکاران، ۱۳۹۷). به طور کلی، سنجدنده مادیس دارای چهار محصول برای تعیین AOD است.

پروداکت (Aerosol Optical Depth) ۱km اطلاعات روزانه چگالی گردوغبار را برای نواحی آبی و خشکی با توان تفکیک یک کیلومتری برای محصول و توان تفکیک ۱۰ کیلومتری برای الگوریتم ارائه شده در اختیار کاربر قرار می‌دهد که از سال ۲۰۰۰ برای ماهواره ترا و سال ۲۰۱۲ برای آکوا در دسترس است.

1 Wang

2 Cao

3 Xu

4 Boloorani

5 Muhs

6 Ashrafi

7 Aerosol Optical Depth: AOD

8 Deep Blue: DB

9 Dark Target: DT

پروداکت (Aerosol Optical Depth (3km) از سال ۲۰۰۲ برای ماهواره آکوا و سال ۲۰۰۰ برای ماهواره ترا در دسترس است. توان تفکیک ۳ کیلومتری الگوریتم ارائه شده در این محصول امکان مطالعه گردوغبارها را در مناطق شهری به صورت بسیار مطلوب و کاربردی ارائه می‌دهد.

پروداکت Merged DT/DB AOD با ترکیب دو الگوریتم DT و DB امکان مطالعه بهتری از تغییرات AOD را در مقیاس جهانی و در هر دو محیط خشکی و آبی فراهم می‌آورد که از سال ۲۰۰۰ برای ماهواره ترا و آکوا در دسترس است. این پروداکت با توان تفکیک دو کیلومتری تصاویر و ۱۰ کیلومتری الگوریتم برای نواحی خشکی، اقیانوسی و پوشش گیاهی مورد استفاده قرار می‌گیرند.

پروداکت Deep Blue AOD از سال ۲۰۰۰ در دسترس اما تنها برای نواحی خشکی قابل استفاده است. مقدار آثرosl توسط الگوریتم DB برآورده شده که مختص نواحی خشکی و بیابانی است. توان تفکیک این الگوریتم ۱۰ کیلومتری و توان تفکیک پروداکتها دو کیلومتری است.

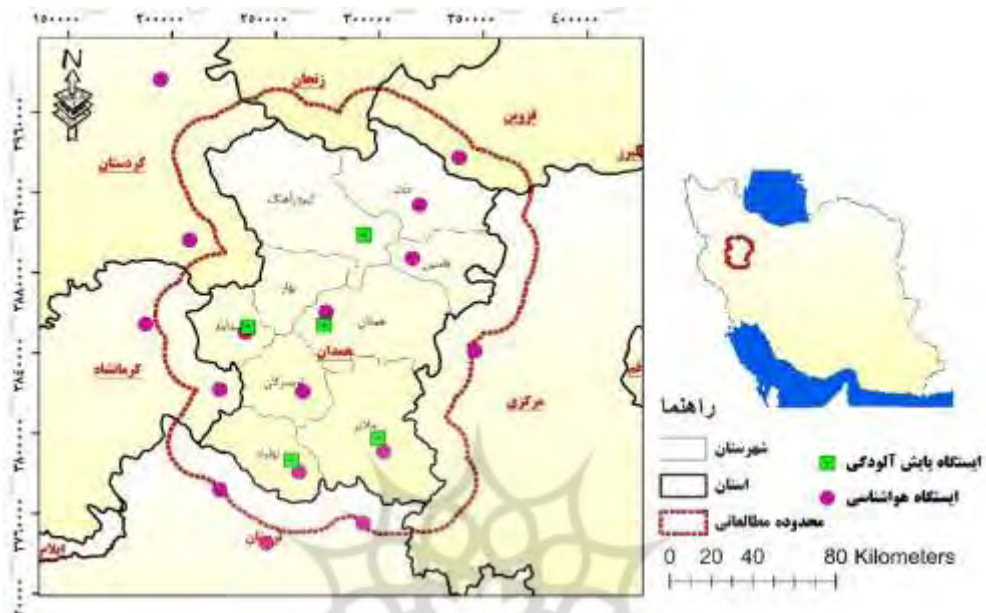
از طرفی دیگر، از جمله مهم‌ترین مدل‌های شناسایی مناطق خاستگاه و پیش‌بینی گردوغبار می‌توان به مدل‌های اتمسفری‌های اسپیلت^۱ جهت شبیه‌سازی خطوط سیر گردوغبار و شناسایی برخاستگاه‌ها و کانال‌های گردوغبار به کار گرفته می‌شود که از مدل‌های معروف جهت محاسبات انتقال جرم در اتمسفر است و کاربرد گسترده‌ای جهت مدل‌سازی‌های مربوط به نحوه پخش و پراکنش بسته‌های هوا و محاسبات غلظت دارد. از ویژگی‌های این مدل، قابلیت استفاده از داده‌های هواشناسی جهانی، مدل‌سازی انتقال آلاینده‌ها در فواصل بسیار زیاد (بیش از ۱۰۰ کیلومتر) و محاسبات پخش و پراکنش گردوغبار است.

۲- مواد و روش‌ها

۱-۲- منطقه مطالعاتی

استان همدان در گستره‌ای به مساحت ۱۴۹۴۱ کیلومترمربع، منطقه‌ای کوهستانی و همراه با رودخانه‌های متعددی است که در غرب ایران قرار گرفته است. آثار خشکسالی‌های چندساله و تشنجی زمین در استان همدان در سال ۱۳۸۸ آغاز شده و مناطق شمال غربی تقریباً جزء مناطقی هستند که با خشکسالی مواجه است. وضعیت کیفی هوای استان همدان توسط پنج دستگاه سنجش کیفیت هوای اداره محیط‌زیست در ایستگاه‌های همدان، نهاوند، ملایر، کبودآهنگ و اسدآباد مورد سنجش قرار می‌گیرد. اطلاعات هواشناسی از ایستگاه‌های سینوپتیک همدان، ملایر، توابران، نهاوند، اسدآباد، فامنین و رزن دریافت و برای تکمیل اطلاعات هواشناسی از ایستگاه‌های مجاور و خارج از استان نیز استفاده می‌شود. همچنین، جهت تحلیل پدیده گردوغبار در سطح استان، محدوده‌ای فراتر از مرزهای

سیاسی استان همدان (محدوده ۱۵ کیلومتری) به عنوان محدوده اثرگذار در نظر گرفته شد که بخش‌هایی از استان‌های کردستان، کرمانشاه، لرستان، مرکزی، زنجان و قزوین را شامل می‌شود (شکل ۱).



شکل ۱- منطقه مورد مطالعه؛ موقعیت ایستگاه‌های سینوپتیک و سنجش ذرات معلق در محدوده استان همدان

۲-۲- روش پژوهش

دریافت اطلاعات مورد نیاز از ایستگاه‌های سینوپتیک و سازمان محیط‌زیست

در ابتدا روزهای همراه با گردوبغار از ایستگاه‌های هواشناسی و سپس داده‌های غلظت ساعتی ذرات معلق Pm2.5 و Pm10 در ایستگاه‌های سنجش و پایش کیفیت هوای سازمان حفاظت محیط‌زیست برای ۱۰ سال اخیر (۲۰۰۸-۲۰۱۸) در محدوده استان همدان دریافت شد. موقعیت و مشخصات ایستگاه‌های سینوپتیک و سنجش ذرات معلق در جدول (۱) نشان داده شده است.

جدول ۱- موقعیت ایستگاه‌های سینوپتیک و سنجش ذرات معلق در استان همدان و سال شروع ثبت اطلاعات

ایستگاه سینوپتیک- سال شروع ثبت داده- موقعیت جغرافیایی ایستگاه				ایستگاه			
عرض	طول	سال	نام ایستگاه	عرض	طول	سال	نام ایستگاه
۳۴/۸۰	۴۸/۵۲	۲۰۱۰	همدان	۳۴/۸۶	۴۸/۵۳	۲۰۰۷	همدان
۳۴/۱۹	۴۸/۳۷	۲۰۱۲	نهاوند	۳۴/۱۴	۴۸/۴۱	۲۰۰۷	نهاوند
۳۴/۲۹	۴۸/۸۲	۲۰۱۳	ملایر	۳۴/۲۴	۴۸/۸۵	۲۰۰۷	ملایر

ایستگاه سینوپتیک- سال شروع ثبت داده- موقعیت جغرافیایی ایستگاه				ایستگاه سینوپتیک- سال شروع ثبت داده- موقعیت جغرافیایی ایستگاه			
عرض	طول	سال	نام ایستگاه	عرض	طول	سال	نام ایستگاه
۳۵/۲۱	۴۸/۷۲	۲۰۱۳	کبودرآهنگ	۳۴/۵۰	۴۸/۴۲	۲۰۰۷	تهریسان
۳۴/۷۹	۴۸/۱۲	۲۰۱۵	اسدآباد	۳۴/۷۶	۴۸/۱۱	۲۰۱۱	اسدآباد
				۳۵/۱۱	۴۸/۹۸	۲۰۱۱	فامنین
				۳۵/۳۵	۴۹/۰۱	۲۰۱۱	رزن

تعیین سناریوهای موردنبررسی جهت شناسایی کانون‌ها و مدل‌سازی جهت حرکت گردوغبار

سناریو اول- شامل روزهایی از ۱۰ سال اخیر که مقدار هر دو شاخص PM10 و PM2.5 بالاتر از استاندارد است (استاندارد PM10 برابر ۱۵۰ و استاندارد PM2.5 برابر ۳۵ است) و هم‌زمان توسط اداره هواشناسی نیز به عنوان روز آلوده (قابلیت دید زیر ۱۰۰۰ متر) ثبت شده است. سناریو دوم- شامل روزهایی از ۱۰ سال اخیر است که در آن مقدار هر دو شاخص PM10 و PM2.5 به طور هم‌زمان بالاتر از استاندارد هستند. سناریو سوم- این سناریو شامل روزهایی از ۱۰ سال اخیر است که به صورت پیوسته (بیش از دو روز) دارای مقادیر بالاتر از استاندارد در هر دو شاخص Pm2.5 و Pm10 هستند.

استفاده از تصاویر ماهواره‌ای

در مرحله بعد اقدام به دانلود تصاویر سنجنده مادیس از ماهواره‌های ترا و آکوا مربوط به روزهای آلوده در سه سناریو فوق گردید. جهت تعیین چگالی ذرات معلق و همچنین تعیین کانون‌های احتمالی گردوغبار بر روی تصاویر مادیس از پروداکت (Aerosol Optical Depth (3km) استفاده و برای هر روز دو تصویر دانلود شد. استخراج اطلاعات مربوط به شاخص AOD با استفاده از نرم‌افزار ENVI 5.3 و افرونه MCTK انجام شد. از الگوریتم Optical Depth dat تهیه شد. سپس، چگالی ذرات معلق در هر تصویر مشخص شد. مقدار شاخص AOD در محدوده ۰/۵-۰/۱ است؛ از این‌رو محدوده ۰/۲-۰/۱ به عنوان شاخص آسمان صاف و کاملاً آبی و بدون گردوغبار و شفاف و با حداقل قابلیت دید در نظر گرفته می‌شود. با افزایش شاخص از ۰/۱ به سمت ۰/۵ و ۱ میزان تراکم آئروسل نیز افزایش یافته و قابلیت دید کاهش و عمق اپتیکی افزایش می‌یابد. فراوانی عمق اپتیکی بالاتر از ۰/۵ نیز به عنوان معیاری از وقوع طوفان گردوغباری در نظر گرفته می‌شود (NASA^۱، ۲۰۱۹)؛ بنابراین، آستانه ۰/۳ به بالا بیانگر آسمانی کدر و تار با حجم متراکمی از آئروسل‌ها در جو و حداقل دید است؛ از این‌رو مقادیر بالاتر از ۰/۳ بر روی تصاویر به عنوان منشأ و کانون گردوغبار در نظر گرفته

شدند. در شکل (۲) تصویری از چگونگی بازسازی میزان غلظت ذرات با استفاده از تصاویر ماهواره‌ای مادیس بر روی سایت ناسا نشان داده شده است (تصویر مربوط به ۱۲ ژوئن ۲۰۱۴ است).



شکل ۲- بازسازی گردوغبار با استفاده از سنجنده مادیس؛ با حرکت از طیف رنگی زرد به سمت قرمز شاخص AOD افزایش می‌یابد

مدل‌سازی به روش‌های اسپلیت

به منظور بررسی خط سیر ذرات گردوغبار در مدت زمان وقوع طوفان گردوغباری در ۱۰ سال اخیر نیز از مدل‌های اسپلیت استفاده شد. مدل‌های اسپلیت مدلی دوگانه برای شناسایی مسیرهای گردوغبار، پراکندگی و تهذیبی آن با استفاده از رویکردهای PUFF و ذرات و با استفاده از حداقل پارامترهای هواشناسی است. این مدل یک سیستم مبتنی بر وب است که توسط اداره ملی اقیانوسی و جوی آمریکا^۱ در سال ۱۹۹۷ راهاندازی گردید. شیوه محاسباتی این مدل ترکیبی میان دیدگاه‌های اویلری^۲ و لاگرانژی^۳ است (شن^۴ و همکاران، ۲۰۰۹). مناسب‌ترین رویکرد برای مسیرهای گردوغبار رهیافت لاگرانژینی است، به طوری که هر ذره در زمان‌های مختلف موقعیت‌های متفاوتی خواهد داشت، بنابراین رهیافت لاگرانژینی این امکان را فراهم می‌کند که مدل‌های پایه لاگرانژی پس از انتخاب ذره در موقعیت مکانی و زمانی خاص، حرکت آن را در گام‌های زمانی دلخواه به سمت پیش‌بینی آینده روش^۵ (پیشرو) و یا به سمت

۱ NOAA

۲ Eulerian

۳ Lagrangian

۴ Shen

۵ Forward

زمان‌های گذشته^۱ (روش پسگرد) رديابي نمایند (اسکادارو^۲ و همکاران، ۲۰۰۶). برای رديابي مسیر ورود گردوغبار در روزهای همراه با اين پدیده و همچنین شناسایي کانون‌های گردوغباری، با مراجعه به تارنمای NOAA، داده‌های روزانه تهیه شده توسط اين سازمان با فرمت BIN دریافت و با استفاده از مدل‌های اسپلیت مسیر حرکت ذرات و منشأ آنها در سه ارتفاع مختلف از سطح ايستگاه موردنظر (۱۰، ۲۰۰ و ۵۰۰ متری) مورد رديابي قرار گرفت. داده‌های هواشناسی مدل نيز از سامانه يكپارچه‌سازی داده‌های جهانی^۳ و نيم درجه به عنوان ورودی مدل انتخاب شدند. با روش پسگرد، همزمان با آغاز اولين گردوغبار در منطقه موردمطالعه، مسیر باد در ۴۸ ساعت قبل از طوفان برای منشأ خارجي و ۱۲ ساعت قبل از طوفان برای منشأ داخلی تعين شد. مدل برای تمامي تصاوير در هر سه سناريو اجرا و خروجي آن با نقشه‌های همدیدي و تصاوير ماهواره‌اي مقايسه شد. خروجي مدل منشأ شكل‌گيري و نحوه انتشار و حرکت طوفان‌ها را با دقت بسيار زيادي بازيابي می‌كند.

۳- نتایج و بحث

۱-۱- تعين روزهای آسوده و تصاوير ماهواره‌اي در هر سه سناريو

بر اساس سناريو اول، در ۵ ايستگاه همدان، نهاوند، ملایر، تویسرکان و اسدآباد ۳۰۷ روز دارای مقدار بالاتر از استاندارد در هر دو شاخص PM10 و PM2.5 بودند (ايستگاه همدان ۱۹ روز، نهاوند ۶۶ روز، ملایر ۸۷ روز و کبودرآهنگ ۱۳۵ روز). بر اساس گزارش اداره هواشناسی نيز تعداد رخدادهای رينگرد گزارش شده با قابلیت قدرت ديد كمتر از ۱۰۰۰ متر ۴۲۰ روز شناسایي شد (شکل ۳). تعداد روزهای آسوده به ترتیب برای سال‌های ۲۰۰۹، ۲۰۰۸، ۲۰۰۹، ۲۰۱۰، ۲۰۱۱، ۲۰۱۲، ۲۰۱۳، ۲۰۱۴، ۲۰۱۵، ۲۰۱۶، ۲۰۱۷، ۲۰۱۸ و ۲۰۱۹ به ترتیب ۴۸، ۴۸، ۵۶، ۵۶، ۴۲، ۴۹، ۳۶، ۳۳، ۱۵، ۱۵، ۲۹، ۲۹، ۱۷ و ۱۶ روز ثبت شده است. با مطابقت اطلاعات هواشناسی و محیط‌زیست تنها ۲۴ روز در هر دو ارگان به عنوان روز آسوده ثبت شده است. در سناريو دوم، ۳۰۷ روز گردوغباری در ۱۰ سال اخير دارای ذرات معلق بالاتر از استاندارد بوده و توسط دستگاه‌های سنجش کيفيت هوای اداره محیط‌زیست ثبت شده است (ايستگاه همدان ۱۹ روز، نهاوند ۶۶ روز، ملایر ۸۷ روز، کبودرآهنگ ۱۳۵ روز). در سناريو سوم، ۲۳۱ روز آسوده ثبت شده است که در ايستگاه همدان ۴ روز، در ايستگاه نهاوند ۴۹ روز (به صورت ۱۹ دوره چندروزه)، ايستگاه ملایر ۷۹ روز (به صورت ۶ دوره چندروزه) و ايستگاه کبودرآهنگ ۹۹ روز (به صورت ۱۲ دوره چندروزه) مشاهده شده است. جهت تهيه نقشه رقومي شدت غلظت ذرات در برخاستگاه‌های استان و محدوده اثرگذار، درمجموع، برای سناريو اول ۴۸ تصوير، برای سناريو دوم ۶۱۰ تصوير و برای سناريو سوم ۳۲۲ تصوير از ماهواره‌های ترا و آکوا دانلود و پردازش شد. ساير تصاوير به دليل پوشش ابر و يا عدم وجود ذرات معلق بر روی تصاوير حذف شدند.

1 Backward

2 Escudero

3 GDAS: Global Data Administration System

۲-۳- غلظت ذرات معلق، شناسایی برخاستگاه و مدل‌سازی حرکت طوفان‌های گردوغبار با تصاویر مادیس

نتایج مربوط به بازسازی غلظت ذرات معلق (شاخص AOD) بر روی تصاویر پردازش شده در بازه زمانی ۱۰ ساله نشان داد که چگالی ذرات در محدوده $0^{\circ} - 40^{\circ}$ مغایر است. تراکم آئروسول زیر $3/0$ نشان‌دهنده آسمانی صاف و شفاف و فاقد گردوغبار و تراکم بالاتر از $5/0$ بیانگر وقوع گردوغبار، کاهش دید و افزایش عمق اپتیکی است. برآیند مسیر حرکت ذرات برای تمام روزهای گردوغباری در هر سه سناریو به عنوان مسیر حرکت طوفان‌های گردوغبار تعیین شد. نتایج تحلیل تصاویر ماهواره‌ای در سناریوهای مختلف و مدل‌سازی روند حرکت ذرات گردوغبار با مدل های اسپلیت نشان داد که به طور کلی تمامی مسیرهای گردوغبار استان همدان از سه الگوی داخل استان، خارج استان و خارج از کشور تبعیت می‌کنند. خطوط رنگی (آبی، قرمز و سبز) مسیرهای پیش‌بینی شده حرکت طوفان‌های گردوغبار را در تاریخ‌های مشخصی نشان می‌دهند؛ به طوری که مدل های اسپلیت برای هر روز آلووده سه مسیر طوفان گردوغباری را پیش‌بینی می‌کند و برآیند مسیرهای پیش‌بینی شده به عنوان کانون مولد گردوغبار معرفی می‌شوند.

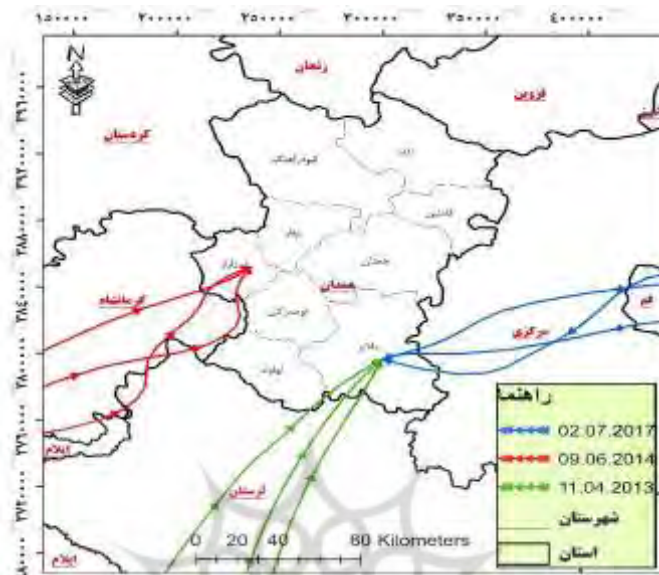
الگوی داخل استان: با توجه به برآیند تحلیل‌های انجام شده، جهت‌های وزش باد، سطح اثرگذاری رخدادهای گردوغبار و مدل‌سازی انجام شده موارد مدعودی از رخدادهای گردوغباری استان همدان دارای منشأ داخل استانی هستند. عمده‌ترین احتمال وقوع الگوی داخل استان در [شکل \(۲\)](#) نمایش داده شده است.



شکل ۳- الگوی حرکت ذرات در مدل های اسپلیت برای روز وقوع طوفان گردوغبار در داخل استان (الگوی اول)

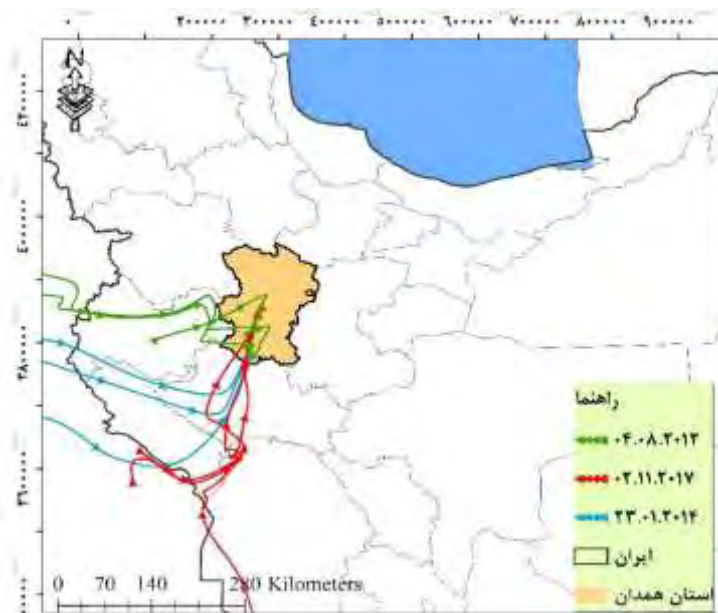
الگوی خارج از استان: بخش مهمی از گردوغبارهای استان همدان از استان‌های مجاور و استان‌های دورتر منشأ می‌گیرند. مدل‌سازی های اسپلیت نشان داد که بخش اعظم گردوغبارها از استان‌های واقع در غرب و جنوب غربی

استان همدان وارد می‌شوند. بخش دیگری نیز از استان‌های واقع در شرق و شمال شرقی محدوده مطالعاتی و نواحی مرکزی ایران منشأ می‌گیرند. الگوی کلی این حرکت‌ها در [شکل \(۴\)](#) نشان داده شده است.



شکل ۴- الگوی حرکت ذرات در مدل‌های اسپلیت برای روز وقوع طوفان گردوغبار در خارج از استان (الگوی دوم)

الگوی خارج از کشور: در چند سال اخیر به دلیل وفور احداث سد در کشورهای ترکیه، سوریه و ایران و همچنین تغییرات رژیم آبی و همچنین خشکسالی حاکم در منطقه سبب خشک شدن بسیاری از تالاب‌ها، از بین رفتن پوشش گیاهی و خشک شدن منطقه گردیده است. از طرفی در اثر تماس باد با خاک، گردوغبار به صورت ریزدانه از سطح زمین بلند و به سمت ایران منتقل می‌شوند. بررسی مسیرهای حرکت ذرات گردوغبار با استفاده از داده‌های هواشناسی نشان داد که دو مسیر، گردوغبار را با منشأ خارجی به داخل استان همدان منتقل می‌کنند ([شکل ۵](#)). مسیر اول از غرب که گردوغبار را از عراق به ایران منتقل می‌کند ممکن است دارای منشأ عراق، سوریه، اردن، یا بخش‌هایی از ترکیه باشد که از طریق مرز عراق وارد ایران و نهایتاً وارد استان همدان می‌شوند. مسیر دوم از جنوب غرب گردوغبار را از شبه‌جزیره عربستان و یا بخش‌های جنوبی کشور عراق (در مجاورت استان خوزستان) منتقل می‌کند و دلیل اصلی این طوفان‌ها می‌تواند خشک شدن تالاب‌های مرزی و عدم مدیریت صحیح مناطق خشک در کشورهای همسایه است.



شکل ۵- الگوی حرکت ذرات در مدل های اسپلیت برای روز وقوع طوفان گردوغبار در خارج از ایران (الگوی سوم)

۴- نتیجه گیری

به طور کلی سالانه استان همدان در معرض طوفان های متعددی با منشأ محلی منطقه ای و همچنین فرامنطقه ای است. وقوع طوفان در مناطق خشک از جمله استان همدان سبب افزایش ذرات معلق نسبت به حد آستانه شده و این موضوع اثرهای منفی بر سلامت انسان دارد؛ بنابراین، یکی از راهکارهای اساسی در کنترل آلودگی هایی نظیر طوفان های گردوغباری شناسایی منبع آلودگی است. از جمله روش های شناسایی برخاستگاهها استفاده از روش های سنجش از دور و مدل های عددی مسیر انتقال جریان هوا است. سنجش از دور با فراهم آوردن تصاویر با پوشش وسیع و تکرار زیاد مطالعات گردوغبار را با سرعت و دقت زیاد عملی نموده است و در حال حاضر مناسب ترین ابزار برای بررسی این پدیده است؛ به طوری که اطلاعات زیادی را در زمینه مشخصات طیفی گردوغبار از جمله شناسایی گردوغبار، پایش و ردیابی مسیر گردوغبار، شناسایی کانون های ایجاد گردوغبار و برآورد شدت گردوغبار فراهم می کند. لذا در این پژوهش به استفاده از سنجش از دور و اطلاعات هواسنایی جهت مسیریابی طوفان های گردوغباری غرب کشور پرداخته شد. در پژوهش حاضر از شاخص AOD در شناسایی کانون های گردوغبار استفاده شد که مشاهدات میدانی صحت بالای آن را نشان دادند. [میری و همکاران \(۱۳۹۶\)](#) و [دانیالی و همکاران \(۱۳۹۷\)](#) نیز در پژوهش خود در سال ۱۳۹۶ به این امر اشاره کرده اند که عمق اپتیکی آثروسل شاخصی توانمند در نشان دادن ذرات معلق به خصوص گردوغبار است. از طرفی دیگر، [فاریابی و همکاران \(۱۳۹۸\)](#) نیز نشان دادند که نقشه های AOD با استفاده از روش مستقیم، توزیع مکانی بسیار خوب الگوی آثروسل محلی در مقایسه با روش های دیگر را نشان

می دهد؛ اما مشابه پژوهش [رایگانی و خیراندیش \(۱۳۹۶\)](#) تصاویر مادیس به دلیل مشکلاتی از جمله توان تفکیک پایین ممکن است در مقایسه با تصاویری با توان تفکیک بالا در شناسایی دقیق کانون تولید ریزگرد کارآمد نباشد. همچنین، در این پژوهش مشابه گزارش ناسا مقدار $0/3$ به عنوان آستانه گردوغبار در نظر گرفته شده است؛ در صورتی که در پژوهش [دانیالی و همکاران \(۱۳۹۷\)](#) عمق اپتیکی بالاتر از $0/5$ به عنوان معیاری از وقوع طوفان گردوغباری در نظر گرفته شده است. درمجموع 250 رخداد گردوغبار در بازه زمانی موردمطالعه بررسی شد که این رخدادها از موارد وسیع که تمام یا بخش‌های عمده‌ای از استان را در بر می‌گرفت تا مواردی با دامنه بسیار محدود را شامل شده است. نتایج به دست آمده در این پژوهش نیز با نتایج سایر پژوهش‌های [میری و همکاران \(۱۳۹۳\)](#)؛ [دانیالی و همکاران \(۱۳۹۷\)](#) که مسئله مسیریابی گردوغبار با استفاده از مدل‌سازی‌های اسپلیت را بررسی کرده‌اند مطابقت دارد و نشان دهنده این موضوع است که این مدل در مسیریابی گردوغبار موفق عمل کرده است؛ از این‌رو نتایج حاصل از خروجی مدل‌سازی‌های اسپلیت نیز نشان داد که منشأ گردوغبارهای استان همدان در طوفان‌های بررسی شده دارای چهار مسیر کلی است. عمده‌ترین بخش ورودی استان، از محور جنوب و جنوب غرب استان است که منتقل کننده گردوغبارهای با منشأ خارج از استان و خارج از کشور است. در این پژوهش نیز با توجه به تحقیقات مشابهی از جمله [فالح زوزولی و همکاران \(۱۳۹۳\)](#) نواحی غربی و جنوب غربی ایران از جمله ترکیه، عراق، سوریه، اردن و عربستان کانون‌های اصلی ورود گردوغبار به داخل کشور هستند که متعاقباً استان‌های مرزی متاثر از این پدیده می‌گردند. دیگر مسیر ورودی از شرق استان و بخشی نیز از شمال شرق و از استان قزوین به داخل استان وارد می‌شود. به طورکلی، عمده رخدادهای گردوغبار منشأ خارج از استان دارند ولی می‌توان مواردی (حداکثر 18 مورد) در داخل محدوده مطالعاتی دانست. به طورکلی، بخش قابل توجهی از کانون‌های شناسایی شده در خارج از مرز سیاسی استان و در داخل بافر 15 کیلومتری در استان‌های مجاور قرار گرفته است که به‌حال تأثیر آن در بروز پدیده گردوغبار در داخل استان همدان انکارناپذیر است. از این‌رو بخش‌هایی از استان‌های کردستان، مرکزی، خوزستان و همچنین استان زنجان از مهم‌ترین بخش‌های تأثیرگذار در بروز و انتقال گردوغبار به داخل استان هستند. در داخل استان نیز بخش‌هایی از شهرستان‌های فامین، ملایر و رزن نیازمند مدیریت جدی جهت کنترل پدیده گردوغبار در آینده هستند. مشاهدات میدانی نیز نشان از صحبت بالای تصاویر و مدل‌های هواشناسی در شناسایی برخاستگاه‌های گردوغبار است؛ از این‌رو امروزه ترکیب مدل‌های هواشناختی و مسیریابی یکی از روش‌های متداول در مطالعات عددی طوفان‌های گردوغبار است و از کاربردی‌ترین مدل‌ها مدل‌های اسپلیت است و نقطه قوت این پژوهش استفاده از پروداکت‌های تصویر مادیس در شناسایی کانون‌های گردوغبار است.

کتابنامه

ارجمند، مریم؛ راشکی، علیرضا؛ سرگزی، حسین. (۱۳۹۷). پایش زمانی و مکانی پدیده گردوغبار با استفاده از داده‌های ماهواره‌ای در جنوب شرق ایران با تأکید بر منطقه جازموریان. *فصلنامه اطلاعات جغرافیایی (سپهر)*، دوره ۲۷، ۱۵۳-۱۶۸.

DOI: 10.22131/SEPEHR.2018.32339

جبالی، عاطفه؛ زارع، محمد؛ اختصاصی، محمدرضا؛ جعفری، رضا. (۱۳۹۹). بررسی گستره تغییرپذیری دید افقی مناطق متأثر از رخدادهای گردوغبار در استان یزد. *نشریه مدیریت بیابان*، شماره ۱۵، ۲۱-۳۶.

DOI: 10.22034/JDMAL.2020.44927

دانیالی، محمد؛ محمدثزاد، بایرامعلی؛ کریمی، نعمت‌الله. (۱۳۹۷). تحلیل مکانی گردوغبار استان خوزستان به کمک تصاویر ماهواره‌ای. *سنچش از دور و سامانه اطلاعات جغرافیایی در منابع طبیعی*، دوره ۹، شماره ۱، ۷۳-۵۷.

https://girs.bushehr.iau.ir/article_540416.html

رایگانی، بهزاد؛ خیراندیش، زهرا. (۱۳۹۶). بهره‌گیری از سری زمانی داده‌های ماهواره‌ای بهمنظور اعتبارسنجی کانون‌های شناسایی شده تولید گردوغبار استان البرز. *نشریه تحلیل فضایی مخاطرات محیطی*، دوره ۴، شماره ۱، ۱۸-۱۱.

<http://jsaeh.knu.ac.ir/article-1-2683-fa.html>

رجبلو، علی؛ آقا محمدی، حسین؛ رحیم زادگان، مجید؛ رجایی، محمدعلی. (۱۳۹۷). تجزیه و تحلیل و تولید نقشه پهنه‌بندی کیفی هوای شهر تهران با استفاده از داده پایش زمینی و RS. *مجله کاربرد سیستم اطلاعات جغرافیایی و سنچش از دور در برنامه‌ریزی*، دوره ۹، شماره ۴، ۶۹-۸۲.

https://gisrs.semnan.iau.ir/article_665875.html

ززولی، فلاح؛ وفایی نژاد، علیرضا؛ خیرخواه زرکش، میرمسعود؛ احمدی دهکا، فریبرز. (۱۳۹۳). منشأ یابی گردوغبار غرب و جنوب غرب ایران و تحلیل سینوپتیکی آن با استفاده از سنچش از دور و سیستم اطلاعات جغرافیایی. *سنچش از دور و سامانه اطلاعات جغرافیایی*، دوره ۵، شماره ۴، ۷۸-۶۱.

https://girs.bushehr.iau.ir/article_516681.html

فاریابی، آذر؛ متین فر، حمیدرضا؛ علوی پناه، سید کاظم؛ نوروزی، علی‌اکبر. (۱۳۹۸). شناسایی گردوغبار در نواحی غرب و جنوب غرب ایران بر مبنای الگوریتم سنجه DAI و داده‌های طیفی سنجه مودیس. *فصلنامه علوم محیطی*، دوره ۱۷، شماره ۳، ۱۵۱-۱۶۲.

<https://dx.doi.org/10.29252/envs.17.3.151>

میری، پروین؛ راشکی، علیرضا؛ سپهر، عادل. (۱۳۹۶). بررسی تغییرات زمانی و مکانی شاخص‌های گردوغبار در شرق خراسان بر پایه داده‌های ماهواره‌ای. *جغرافیا و مخاطرات محیطی*، شماره ۲۳، ۲۰-۱.

<https://dx.doi.org/10.22067/geo.v6i3.54464>

میری، مرتضی؛ عزیزی، قاسم؛ شمسی‌پور، علی‌اکبر. (۱۳۹۳). شناسایی الگوهای گردش جوی تابستانه و زمستانه ورود گردوغبار به غرب ایران. *جغرافیا و برنامه‌ریزی محیطی*، دوره ۲۵، شماره ۴(۵۶)، ۲۲۰-۲۰۳.

<https://dorl.net/dor/20.1001.1.20085362.1393.25.4.12.0>

یارمرادی، زهرا؛ نصیری، بهروز؛ محمدی، غلامحسین؛ کرمپور، مصطفی. (۱۳۹۸). تحلیل و ردیابی مسیرهای ورود طوفان‌های گردوبغار به شرق ایران با استفاده از مدل پخش ذرات لاگرانژی ذرات HYSPLIT. پژوهش‌های فرسایش محیطی، دوره ۹، شماره ۱، ۴۴-۲۷. <http://dorl.net/dor/20.1001.1.22517812.1398.9.1.3.7>

Air Resources Laboratory., 2021. <https://www.ready.noaa.gov/hypub-bin/trajsrc.pl?trjtype=4>
 Ashrafi K, Shafiepour-Motlagh M, Aslemand A, Ghader S., 2014. Dust storm simulation over Iran using HYSPLIT. Journal of environmental health science and engineering, 12(1):9
[DOI: 10.1186/2052-336X-12-9](https://doi.org/10.1186/2052-336X-12-9)

Baghbanan P, Ghavidel Y, Farajzadeh M., 2020. Temporal long-term variations in the occurrence of dust storm days in Iran. Meteorology and Atmospheric Physics, 1-14.
[DOI: 10.1007/s00703-020-00728-3](https://doi.org/10.1007/s00703-020-00728-3)

Boloorani AD, Samany NN, Mirzaei S, Bahrami HA, Alavipanah SK., 2020. Remote Sensing and GIS for Dust Storm Studies in Iraq. In: Environmental Remote Sensing and GIS in Iraq. Springer, 333–75 p. [DOI: 10.1007/978-3-030-21344-2_14](https://doi.org/10.1007/978-3-030-21344-2_14)

Cao H, Amiraslani F, Liu J, Zhou N., 2015. Identification of dust storm source areas in West Asia using multiple environmental datasets. Science of the Total Environment, 502:224–35. [DOI: 10.1016/j.scitotenv.2014.09.025](https://doi.org/10.1016/j.scitotenv.2014.09.025)

Escudero M, Stein A, Draxler RR, Querol X, Alastuey A, Castillo S, Avila A., 2006. Determination of the contribution of northern Africa dust source areas to PM10 concentrations over the central Iberian Peninsula using the Hybrid Single-Particle Lagrangian Integrated Trajectory model (HYSPLIT) model. Journal of Geophysical Research, 111. [DOI: 10.1029/2005JD006395](https://doi.org/10.1029/2005JD006395)

Esmaili O, Tajrishi M, Arasteh PD., 2006. Evaluation of dust sources in Iran through remote sensing and synoptical analysis. Int. J, Vol. x, No. x.

Farebrother W, Hesse PP, Chang H-C, Jones C., 2017. Dry lake beds as sources of dust in Australia during the Late Quaternary: A volumetric approach based on lake bed and deflated dune volumes. Quaternary Science Reviews, 161:81–98.

[DOI: 10.1016/j.quascirev.2017.02.019](https://doi.org/10.1016/j.quascirev.2017.02.019)

Hahnberger M, Nicoll K., 2012. Meteorological characteristics of dust storm events in the eastern Great Basin of Utah, U.S.A. Atmospheric Environment, 60: 601-612. [DOI:10.1016/j.atmosenv.2012.06.029](https://doi.org/10.1016/j.atmosenv.2012.06.029)

Heidarian P, Azhdari A, Joudaki M, Khatooni JD, Firoozjaei SF., 2018. Integrating Remote Sensing, GIS, and Sedimentology Techniques for Identifying Dust Storm Sources: A Case Study in Khuzestan, Iran. Journal of the Indian Society of Remote Sensing, 46(7):1113–24. [DOI: 10.1007/s12524-018-0774-2](https://doi.org/10.1007/s12524-018-0774-2)

Johanston F, Hanigan I, Henderson S, Morgan G, Bowman D., 2011. Extreme air pollution events from brushfires and dust storms and their association dust events (2005-2010) over South-Eastern Spain. Journal of Atmospheric Chemistry and Physics, 12(3), 59-622.

[DOI: 10.1016/j.envres.2011.05.007](https://doi.org/10.1016/j.envres.2011.05.007)

Kenneth W, Warner CF, Davis W., 1998. Air pollution, its origin and control. Third Edition, Eddison Wesley, USA, 168.

Menéndez I, Diaz-Hernandez JL, Mangas J, Alonso I, Sánchez-Soto PJ., 2007. Airborne dust accumulation and soil development in the North-East sector of Gran Canaria (Canary Islands, Spain). Journal of Arid Environments, 71(1):57–81. [DOI: 10.1016/j.jaridenv.2007.03.011](https://doi.org/10.1016/j.jaridenv.2007.03.011)

- Momtaz AM, Choobchian S, Farhadian H., 2019. MEASURING THE AMOUNT OF FARMERS'RESILIENCE IN FACING CLIMATE CHANGE IN IRAN (CASE OF: HAMEDAN PROVINCE). *Plant Archives*, 19(2):1698–704.
- Muhs DR. 2013. The geologic records of dust in the Quaternary. *Aeolian Research*, 9:3–48.
[DOI:10.1016/J.AEOLIA.2012.08.001](https://doi.org/10.1016/J.AEOLIA.2012.08.001)
- NASA, 2019. <https://worldview.earthdata.nasa.gov/?v=-67.8269580447,3344,-42.12246791905239,162.48166343467085,57.73791092553308&t=2021-04-13T13%3A40%3A26Z>
- Nouri H, Faramarzi M, Sadeghi SH, Nasseri S., 2019. Effects of regional vegetation cover degradation and climate change on dusty weather types. *Environmental Earth Sciences*, 78(24):723. [DOI: 10.1007/s12665-019-8763-5](https://doi.org/10.1007/s12665-019-8763-5)
- Shan W, Yin Y, Lu H, Liang S., 2009. A meteorological analysis of ozone episodes using HYSPLIT model and surface data. *Atmospheric Research*, 93(4):767-76
[DOI: 10.1016/j.atmosres.2009.03.007](https://doi.org/10.1016/j.atmosres.2009.03.007)
- Taghavi F, Owlad E, Ackerman SA., 2017. Enhancement and identification of dust events in the south-west region of Iran using satellite observations. *Journal of Earth System Science*, 126(2):28. [DOI: 10.1007/s12040-017-0808-0](https://doi.org/10.1007/s12040-017-0808-0)
- Wang H, Jia X, Li K, Li Y., 2015. Horizontal wind erosion flux and potential dust emission in arid and semiarid regions of China: A major source area for East Asia dust storms. *Catena*, 133:373–84. [DOI: 10.1016/j.catena.2015.06.011](https://doi.org/10.1016/j.catena.2015.06.011)
- Wong S, Dessler AE., 2005. Suppression of deep convection over the tropical North Atlantic by the Saharan Air Layer. *Geophysical research letters*, 32(9). [DOI: 10.1029/2004GL022295](https://doi.org/10.1029/2004GL022295)
- Xu C, Guan Q, Lin J, Luo H, Yang L, Tan Z., 2020. Spatiotemporal variations and driving factors of dust storm events in northern China based on high-temporal-resolution analysis of meteorological data (1960–2007). *Environmental Pollution*, 260:114084.
[DOI: 10.1016/j.envpol.2020.114084](https://doi.org/10.1016/j.envpol.2020.114084)
- Xuan J, Sokolik IN, Hao J, Guo F, Mao H, Yang G., 2004. Identification and characterization of sources of atmospheric mineral dust in East Asia. *Atmospheric Environment*, 38(36):6239–52. [DOI: 10.1016/j.atmosenv.2004.06.042](https://doi.org/10.1016/j.atmosenv.2004.06.042)
- Zhang Y, Liu Y, Kucera PA, Alharbi BH, Pan L, Ghulam A., 2015. Dust modeling over Saudi Arabia using WRF-Chem: March 2009 severe dust case. *Atmospheric Environment*, 119:118–30. [DOI: 10.1016/j.atmosenv.2015.08.032](https://doi.org/10.1016/j.atmosenv.2015.08.032)